ポリ塩化ビニルーメチルメタクリレートーブタジエンー スチレンブロック共重合体の耐衝撃性に及ぼす炭酸カル シウム添加効果

永田員也・藤原和子・日笠茂樹・児子英之・伊藤亮治・ Kazuya NAGATA, Kazuko FUJIWARA, Shigeki HIKASA, Hideyuki NIGO, and Ryoji ITHO・

キーワード ポリ塩化ビニル/メチルメタクリレート-ブタジエン-スチレンブロック共重合体/炭酸カルシウム/衝撃強度/複合材料

Key word Poly (Vinyl Chloride) / Methyl Methacrylate-Butadiene-Styrene Coplymer/Calcium carbonate/Impact Strength / Composite

要旨

ポリ塩化ビニル (PVC) に 10phr までのメチルメタクリレート-ブタジエン-スチレンブロック共重合体 (MBS) および平均粒子径が $0.9\mu m$ のステアリン酸改質炭酸カルシウム (CaCO₃) を 40phr までの所定量をロールにより 190 ℃,6分間混練した。PVC/MBS ブレンドの衝撃強度は MBS の添加量の増加にともない増加し、体積分率で 0.07 (6phr) 付近から急激に増加した。CaCO₃ 20phr 以下の添加で PVC/MBS ブレンドの衝撃強度は大きく改善された。一方,30phr 以上の CaCO₃ の添加では PVC/MBS ブレンドの衝撃強度は CaCO₃ 未添加の場合よりも低い値となった。透過電子顕微鏡観察の結果,PVC 中で MBS 粒子は 300nm 程度の粒径一部凝集して分散していた。PVC/MBS/CaCO₃ 複合材料動的粘弾性測定の結果, MBS のガラス転移温度に帰属される $tan\delta$ ピーク温度は MBS および CaCO₃ 粒子添加量が増加してもほとんど変化せず,MBS と CaCO₃ 粒子表面の強い相互作用が認められなかった。CaCO₃ 添加による PVC/MBS ブレンドの衝撃強度改善効果について力学特性解析,動的粘弾性測定から得られた結果を基づき考察した。

1 はじめに

ポリ塩化ビニル(PVC)は衝撃強度が低いため MBS, NBR やその変性ポリマー, CPE, EVA など のエラストマーを添加することが広く行われてい る。PVC 中におけるエラストマーのミクロ分散 構造や界面と PVC/エラストマーブレンドの耐衝 撃性の関係について多くの報告がなされている 1-5)。PVC 中のエラストマー分散粒子の粒径と分 散状態がブレンドの耐衝撃性に大きく影響される ことから、エラストマーと PVC の相溶性、混練温 度や時間などの加工条件, エラストマーの添加量 などの影響を中心に研究されている 15)。エラス トマーブレンドによりポリマーの耐衝撃性を改善 する効果は分散エラストマー粒子近傍での多数の クレイズ変形やせん断降伏などの局部的な変形, ゴム粒子のボイド化などが衝撃時のエネルギーを 吸収することにより発現し、さらに、これらの因 子はマトリックスやエラストマー粒子の種類、与 えられた応力により複雑に絡み合っている作用し ていることが報告されている⁶。また、PVCやポ リアミドの様にせん断降伏しやすいマトリックス では, 衝撃強度はマトリックスに分散しているエ

ラストマー粒子間距離に臨界値が存在し、それ以 下の距離で急激に向上する °。 既報で PVC/CPE ブレンドの衝撃強度は 10phr までの CPE 添加量 により徐々にしか増加しないが、平均粒子径が 0.9μm 以下の微粒子炭酸カルシウム(CaCO₃)を添 加することにより PVC/CPE ブレンドの衝撃強度 はアイゾット試験片が破壊しない 60kJ·m²以上の 急激に増加することを報告している ⁿ。CaCO₃添 加による PVC/CPE ブレンドの衝撃強度の著しい 改善効果について力学特性解析、透過電子顕微鏡 観察、動的粘弾性測定から得られた結果に基づき 考察し、 PVC 中で CPE 粒子は 300nm 程度の粒径 で CaCO₃ 粒子とともにそれぞれ単独で分散して いるが、CPE と CaCO3 粒子表面の強い相互作用に より CPE 粒子と CaCO₃ 粒子が接近した分散形態 を形成することにより著しく衝撃強度改善される ことを明らかにしている ⁿ。このように PVC/CPE ブレンドでの CaCO。添加による著しい衝撃強度 の改善はそれぞれの粒子のマトリックスでの分散 状態が関与していると考えられる。MBS におい てこのような CaCO。の添加が力学特性に及ぼす 影響について詳細な報告がなされていない。

*(株)ファイマテック 岡山工場

本論文では、PVC/MBS(0から10phr)ブレンドに平均粒子径0.9μmのステアリン酸改質CaCO。を40phrまでの所定量を混練し、PVC/MBSブレンド系におけるCaCO。の添加効果を検討した。その結果、PVC/MBSブレンドの衝撃強度はCaCO。の添加によりアイゾット試験片が破壊しない80kJ·m²以上へ急激に増加する著しい改善が認められたが、急激に衝撃強度が増加するMBS添加量はCaCO。添加量が少なくなるにつれて低添加量側にシフトし、CaCO。の添加量が20phrまでがPVC/MBSの衝撃強度を大きく改善した。このようなPCV/CPEブレンドとは異なる衝撃強度のCaCO。の添加効果について弾性率、降伏強度などの力学特性解析、動的粘弾性測定から得られた結果に基づき考察した。

2 実験方法

2.1 試料調製

複合材料は PVC(新第一塩ビ(株) 製, ZEST 1000Z) 100phr, 三塩基性硫酸鉛(界化学工業(株) 製)1.5phr, 三塩基性ステアリン酸鉛(界化学工業 (株) 製)0.5phr. ステアリン酸鉛(界化学工業(株) 製) 0.5phr、エポキシ化大豆油(アデカ·アーガス (株) 製)0.5phr、MBS(鐘淵化学工業(株) M511) 10phr まで、ステアリン酸改質 CaCO (平均粒子径 0.9 μm: (株) ファイマテックAFF95)40phr までそ れぞれ配合し,6インチロールを用い190±5℃,6 分間混練することにより調製した。圧縮成形(200 ℃、4分)することにより調製した。特性評価用 試料はロール混練シートを 200 ℃でシートに圧縮 成形することにより調製した。複合材料中での MBS 粒子の分散状態はウルトラミクロトームに より得た切片を透過電子顕微鏡(TEM, 日本電子 (株) 製 JEM-2010) 観察により評価した。

2.2 力学特性測定

引張試験: JIS K7113に従い, 2号形試料片を用いて試験速度50mm·min⁻¹で温度23℃, 湿度50%の恒温恒湿条件下でテンシロン(インストロン社5583型)を用い測定した。

引張弾性率測定:JIS K7113に従い,5号形短冊状の試験片を用い試験速度2mm·min⁻¹で恒温恒湿条件下でテンシロンを用い測定した。

アイゾット衝撃試験:JIS K7110に従い,短冊 状の2号A試験片を加工機を用い作製し,恒温恒湿 条件下でアイゾット試験機を用い測定した。

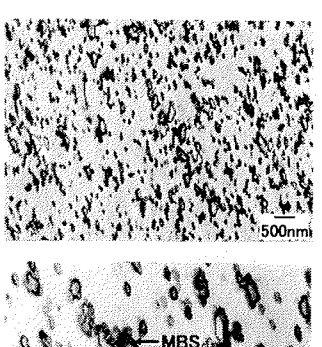
2.3 動的粘弹性測定

動的粘弾性測定はレオメーター(セイコー電子 (株) 製粘弾性スペクトロメーター DSM110)を用い,周波数 5Hz、昇温速度 2 \mathbb{C}/min ,測定温度 範囲-80 \mathbb{C} から 120 \mathbb{C} の範囲で行った。

3 結果及び考察

3.1 TEM 観察

PVC に MBS を 7phr 添加した TEM 観察の結果を図 1 に示の混練条件では MBS 粒子は 100 ~ 300nm サイズび数 一粒子では がまローが また の現集 向に また のでは た。 EXでの を添加した系では 大粒子の CaCO3 が



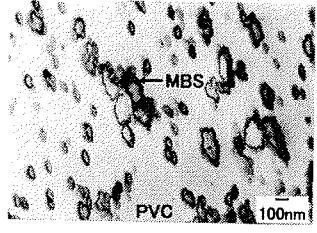


図1 PVC/MBS(7phr) のTEM写真

存在しているため TEM 観察用の均質な薄片フィルムが得られず, 鮮明な TEM 観察像が得られなかったが, 複合材料は PVC マトリックスに MBS 粒子, CaCO₃ 粒子がそれぞれ分散した 3 相構造であった。

3.2 PVC/MBS/CaCO3の衝撃強度

図 2 に PVC/MBS ブレンドに 0.9μm の CaCO₃

粒子を 40phr まを 40phr まを 40phr まを 40phr まを 40phr まを を たっと たっと がまる がまる がいまる MBS が体 では MBS が体 積分

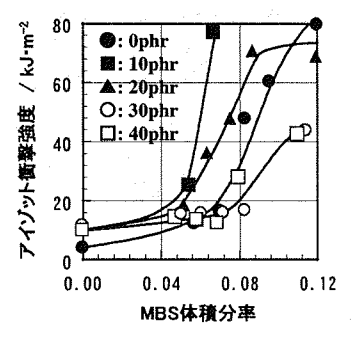


図2 PVC/MBS/CaCO₃ 複合材料の 衝撃強度とMBSの体積分率の関係

率で 0.07(6phr)付近から急激に増加し、 体積分率 0.1(10phr)の添加でアイゾット試験片が破壊しな い 80kJ·m² となった。20phr までの CaCO3 を添加 することにより PVC/MBS ブレンドの衝撃強度は 大きく改善された。一方、30phr 以上の CaCO3の 添加では PVC/MBS ブレンドの衝撃強度は CaCO3 未添加の場合よりも低い値となった。急激に衝撃 強度が増加する MBS の添加量は CaCO3 添加量の 低下にともない低添加量側にシフトした。 PVC/CPE ブレンドでは CaCO3 の添加による衝撃 強度の著しい改善は 20phr 以上の高添加量で認め られると報告されているⁿ。しかし、PVC/MBSブ レンドの衝撃強度は CaCO3 を 20phr までの少量を 添加することにより著しい衝撃強度改善効果が認 められ、PVC/CPEブレンドとは大きく異なる挙動 を示した。

エラストマーによる PVC の衝撃強度改善は分散エラストマー粒子近傍での多数のクレイズ変形やせん断降伏などの局部的な変形, ゴム粒子のボ

イド化などが衝撃時のエネルギーを吸収すること により発現すると考えられている^{1,6}。PVC/MBS ブレンドでの急激な衝撃強度の改善は MBS 粒子 が均一に分散するよりも一部凝集した分散形態を 取った場合に発現することが報告されている。。 このような分散形態は TEM 観察の結果と一致し ていた。一方、体積分率 0.18(40phr)の CaCO3 を PVC 添加した試料の衝撃強度はマトリックス衝 撃強度の約 4 倍の値となった。この CaCO3 の添 加による衝撃強度改善は PP に微粒子 CaCO3 を添 加した系でも報告されており^{10,11)}, PP 複合材料と 同様、均一に分散した CaCO。粒子近傍でのクレー ズの生成ならびに塑性変形による応力分散効果で あると考えられる。PVC マトリックス中でそれ ぞれの添加粒子が前述の応力分散機構で複合材料 の衝撃強度を改善していると考えられるが、 PVC/MBS ブレンドに CaCO3 を 20phr までの少量 を添加することにより CaCO: 粒子を添加してい ない PVC/MBS ブレンドよりも優れた衝撃強度改 善効果が認められ、それぞれの粒子単独での機構 ではこの現象を十分に説明することはできない。 PVC にエラストマーを添加したブレンドではマ トリックスとの界面接着性、加工温度などが臨界 現象を示すような急激な衝撃強度改善効果に大き く影響していることが報告されている 4.5,111)。これ は衝撃強度改善効果は衝撃時の応力を分散させる 粒子近傍の効果だけではなく、その後の破壊進展 を抑制するマトリックス中での MBS や CaCO3 各 粒子の分散形態、分散の粒子間の距離などが影響 していると考えられる。そこで図 3 に充填粒子 が球と仮定した場合の粒子間の最近接距離を(1) により算出し, MBS/MBS 間(○)および MBS/CaCO。間(●)のそれぞれの粒子の最近接距 離と衝撃強度関係を示している。

 $\mathbf{d} = \{ (4 \pi \sqrt{2/3} \text{V})^{1/3} - 2 \} \times \text{r}$ (1)

ここで d は 粒子間距離, V は 粒子の体積分率, r は 粒子半径 ある。 な $CaCO_3$ の 数子径は $0.9\mu m$, M B S の 粒子径は $0.9\mu m$, M B S の 粒子径は T E M 観察の 結果 から 300nmとか 6.1(20phr) から

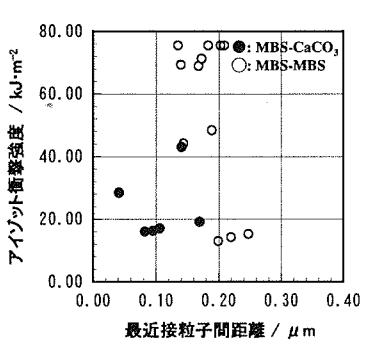


図3 最近接粒子間距離とPVC/MBS/CaCO₃ 複合材料の衝撃強度の関係 ●: MBS-CaCO₃, ○: MBS-MBS

0.18 (40phr) へと増加すると最近接粒子間距離は 0.85 から 0.54μm へと接近する。PVC/MBS/CaCO₃ の衝撃強度は MBS/CaCO₃ 間の最近接粒子間距離 よりも MBS/MBS 粒子間距離が 0.2μm 以下になると急激に衝撃強度が向上する。したがって、マト

リックス中で MBS 粒子同士が接近した分散形態, すなわち, MBS 粒子が一部凝集状態, が存在する ことにより急激な衝撃強度改善効果が発現すると 考えられる。しかし, それ以上の添加量では添加 量の増加にともなう混練時のポリマーせん断の増 加により PVC 中で一部凝集していた MBS が分散 したため衝撃強度改善効果が 20phr までの添加に 比べ小さくなったものと考えられる。

3.3 PVC/MBS/CaCO3の弾性率、降伏強度

マトリックス中で MBS 粒子と CaCO₃ 粒子の分散形態をさらに検討するため PVC/MBS/CaCO₃ の破断伸び, 弾性率, 降伏強度を測定し, 解析を行った。 図 4 に PVC/MBS/CaCO₃ 複合材料の破断伸びと MBS および CaCO₃ 粒子の添加量の関係を示している。 MBS 粒子を変量した場合いずれの CaCO₃

の添加量において も伸びは MBS の添 加量の増加ととも にわずかに増加し た。一方, CaCO3を 変量した場合いず れの MBS の添加量 においても伸びは CaCO。の添加量の 増加とともに低下 した。これはマト リックスに均一分 散した MBS および CaCO。が歪みが加 えられ歪みが増加 するににともない. エラストマーであ る MBS 粒子では変 形することにより

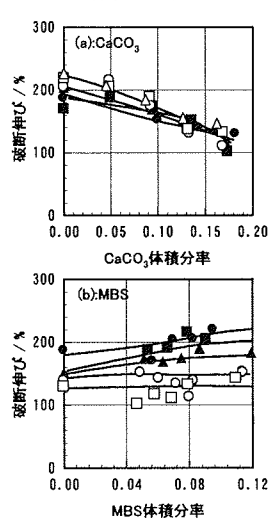


図4 PVC/MBS/CaCO₃ の破断伸びとCaCO₃ または MBS体積分率の関係 (a): ●: 0phr, ■: MBS, ▲: 5phr, 〇: 6phr, □: 7phr, Δ: 10phr (b) ●: 0phr, ■: 10phr, ▲: 20phr, ○: 30phr, □: 40phr

破壊進展を抑制しているが,堅い粒子の CaCO』では変形しないため破壊進展しやくなっているためであると考えられる。

図 5 に PVC/MBS ブレンドおよび PVC/CaCO3の2 相系における弾性率と粒子添加量の関係を示している。Stricker らはマトリックスの PP にエラストマーとガラス粒子が分散した3 相系に対して提案されている拡張 Lewis-Nielsen 式 (Three phase: (2)-1 式)およびエラストマーが粒子を被覆してPP に分散しているとした式 (Core shell: (2)-2 式)を提案し、実測値はこの両式の間にくることを報告している (2)-2 式)を提案し、実測値はこの両式の間にくることを報告している (2)-2 式)を提案し、実測値はこの両式の間にくることを報告している (2)-2 式)を提案し、実別値はこの両式の間にくることを報告している (2)-2 式)を表する。

Three Phase

 $E_{c} = E_{m} \times (1 - \psi_{s}B_{e} \phi_{s})/(1 + A_{s}B_{e} \phi_{s}) \times (1 + A_{t}B_{t} \phi_{s})/(1 - \psi_{s}B_{t} \phi_{s})$ (2)-1 \(\frac{\pi}{\pi}\)

Core-Shell

$$\begin{split} E_{c} &= E_{m} \times (1 - \psi _{c}B_{c} (\phi _{c} + \phi _{f})) / (1 + A_{c}B_{c} (\phi _{c} + \phi _{f})) \\ &(2) - 2 \ \overrightarrow{\mathbb{T}} \\ \phi '_{c} &= \phi _{c} / (1 - \phi _{f}), \ A_{c} = (8 - 10 \ \upsilon) / (7 - 5 \ \upsilon), \\ A_{f} &= (7 - 5 \ \upsilon) / (8 - 10 \ \upsilon) \\ B_{e} &= (E_{m} - E_{c}) / (E_{m} + A_{c}E_{c}), \ B_{f} = (E_{f} - E_{m}) / (E_{f} + A_{f}E_{m}), \\ \psi '_{f} &= 1 + \phi _{f} (1 - \phi _{f}^{m}) / \phi _{f}^{m^{2}}, \ \psi _{c} &= 1 + \phi '_{c} (1 - \phi _{c}^{m}) / \phi _{c}^{m^{2}} \end{split}$$

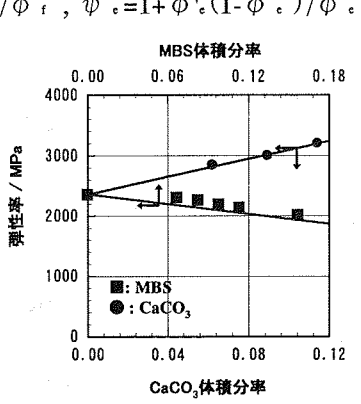


図5 PVC/CaCO₃およびPVC/MBSの弾性率と CaCO₃ またはMBSの体積分率の関係. ●: MBS, ■: CaCO₃

MBS 粒子がそれぞれ単独で PVC に分散している系では Three Phase の (2)-1 式においてそれぞれの粒子の一方の体積分率がゼロとすることにより複合材料のそれぞれの粒子充填量での理論弾性率が算出できる。図 5 の実線がそれぞれの理論曲線である。PVC/CaCO。複合材料の弾性率は粒子添加にともない 2350MPa から 3190MPa まで増加し、2 相系に適用した (2)-1 式の理論値と一致していた。また,PVC/MBS 複合材料の弾性率も粒子の添加にともない低下し,2 相系に適用した (2)-1 式の理論値と一致していた。

PVC/MBS/CaCO。複合材料は Stricker らの報告と同様のマトリックスにエラストマーとフィラー粒子を充填した系であるので(2)-1 式および(2)-2式を適用した。その結果を図 6 に示している。

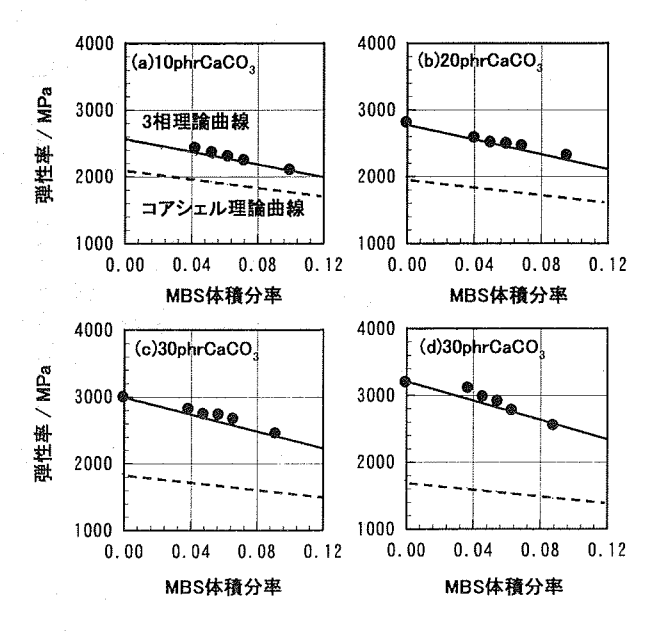
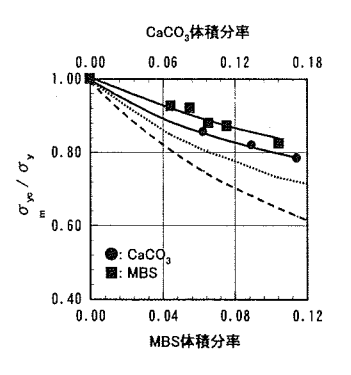


図 6 PVC/MBSCaCO3の弾性率とMBSの体積分率の関係



 ${f Z}$ 7 PVC/MBSまたは PVC/CaCO3 の σ_{yc} / σ_{ym} とMBS または CaCO3の体積分率の関係.

性率に強く影響されないとの仮定で提案されたものである。しかし、本研究の系では TEM 観察の結果明らかなように PVC に MBS および CaCOs 粒子がそれぞれに単独に分散した Three Phase の分散形態を取っているため Core-Shell 式((2)-2式)とは一致しなかったと考えられる。一方、3 相系の PVC/MBS/ CaCOs 複合材料の弾性率は Three Phase 式((2)-1式)とほぼ一致していた。

図 7 には PVC/MBS ブレンドおよび PVC/CaCO3 の 2 相系における複合材料/マトリックスの降伏強度の比, $\sigma_{\text{vc}}/\sigma_{\text{va}}$, と粒子添加量の関係を示している。Nicolais らはマトリックス/粒子間でボイド形成により降伏する複合材料(粒子径が 12.7 から 38.1 μ m のガラスビーズを充填したスチレン-アクリロニトリル共重合体)に対して(3)式で示した Nicolais-Narkis モデルを提案している 130。

 $\sigma_{yc}/\sigma_{yn} = 1-1.21 \phi_{f}^{2/3}$ (3)式 ここで σ νε:複合材料の降伏強度, σ νι:マトリック スの降伏強度、φ₁:粒子の体積分率である。CaCO₃ および MBS 粒子いずれの粒子を添加した複合材 料においても σ_{vc}/σ_{vu} は粒子添加にともない理論 値よりも大きな値であるが同様の傾向で低下し た。この理論値とのずれは Nicolais らが用いた充 填粒子より小さな粒子を添加したためであると考 えられ、PP/オレイン酸改質 CaCO。複合材料や PVC/ガラスビーズ複合材料で報告されている結 果^{10, 14-16)}, と一致していた。 いずれの粒子も PVC マトリックスと強固な界面接着をしておらず、そ れぞれの粒子近傍でクレーズやボイド形成されて いると考えられる。また、この結果は粒子添加に よる PVC の衝撃強度改善の一因である粒子近傍 でのクレーズの生成を示唆している。

図 8 に PVC/MBS/CaCO₃ 複合材料/マトリックスの降伏強度の比、 σ_{yc}/σ_{yn} 、と MBS および CaCO₃ 粒子添加量の関係を示している。図中の点線は(3)式より算出した理論曲線である。MBS を変量した場合 MBS 添加量増加にともない理論曲線と同様の傾向で σ_{yc}/σ_{yn} は低下し、CaCO₃ 添加量が多い方が低い値となった。また、CaCO₃ の添加量を変化させた場合 CaCO₃ の添加量増加にとも

ない理論曲線と 同様の傾向でσω /σ va は低下し、 MBS の添加量が 5phr までは MBS の添加量が多い 方がσyc/σyaは小 さな値となった が、それ以上の添 加量ではいずれ の MBS の添加量 においてもσ νε/ σωはほぼ同じ値 であった。この それぞれの粒子 添加量増加にと もなうσ_{vc}/σ_{va}の 低下は粒子添加 に伴うマトリッ

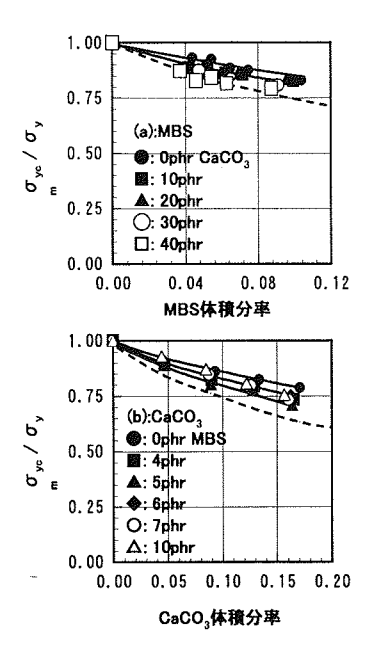


図 8 PVC/MBS/CaCO₃ の σ_{yc} / σ_{ym} と MBS and CaCO₃の体積分率関係.

クス中での界面の増加を示していると考えられ, 各粒子はマトリックス中で単独に分散し, 応力を 分散していることを示している。

3.4 PVC/MBS/CaCO3 の動的粘弾性挙動

PVC/CPE/CaCO。複合材料は力学特性の解析や 粘弾性測定の結果. 衝撃強度が著しく改善される CaCO。および CPE 添加領域では CaCO。粒子と CPE 粒子間は非常に近接した分散形態をとってお り、添加された CPE のガラス転移温度に帰属され る損失正接(tanδ)ピーク温度が高温側にシフトす ることが報告されている ⁿ。図 9 には PVC/CPE (7phr)ブレンドの貯蔵弾性率(E'), 損失弾性率 (E"), 損失正接(tand)の温度分散を示している。85 ℃付近の E"および tanð のピークはPVCの非晶質分 子鎖の緩和であり、PVCのガラス転移に帰属され る。また、 -80℃付近の E"および tanð のピーク はマトリックスの PVC には認められず、MBSの非 晶質鎖の緩和であり、MBSのガラス転移に帰属さ れる。この様にそれぞれのポリマーのガラス転移 温度が明確に認められることから、TEM観察で観 察されたようにPVC中に相分離してMBS粒子が分散 した構造となっている。図 10にはPVC/MBS(10phr)

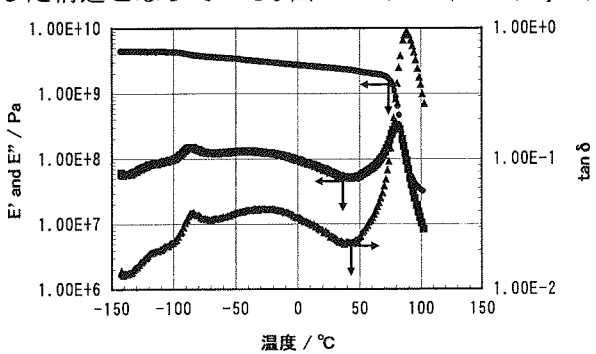


図 9 PVC/10phr MBS の動的粘弾性特性

MBSのピーク温 度もCaCO₃の添加 量依存性は認め

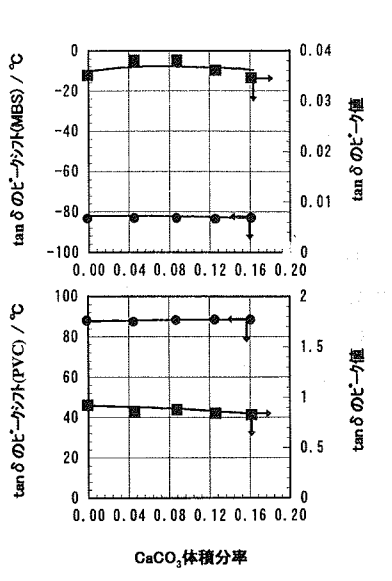


図10 PVC/MBS/ CaCO₃のtan δ ピーク温度およ びピーク値とCaCO₃体積分率の関係。

られず一定あった。したがって、CaCO₃粒子表面とPVC分子鎖およびMBS粒子表面の間には相互作用がほとんど認められないと考えられ、エラストマーとしてCPEを用いた場合と大きく異なっていた。

4 まとめ

CaCO3 添加による PVC/MBS ブレンドの衝撃強 度改善効果とマトリックス中でのそれぞれの粒子 分散状態の関係について透過電子顕微鏡観察、動 的粘弾性測定、複合材料の力学特性により得られ た結果を基づき考察した。PVC 中で MBS 粒子は 100~300nm サイズの単一粒子および数個凝集し てロール列理方向に分散しており、CaCO。粒子も 単独で分散していた。PVC/MBS ブレンドの衝撃 強度は MBS の添加量とともに増加し、 MBS が体 積分率で 0.07(6phr)付近から急激に増加した。 CaCO3 を添加することにより PVC/MBS ブレンド の衝撃強度は急激に増加し、急激に衝撃強度が増 加する MBS 添加量は CaCO。添加量の低下にとも ない低添加量側にシフトした。また、 CaCO₃ が 20phr までの少量添加で PVC/MBS ブレンドの衝 撃強度は 5phr 以上の MBS を添加することにより 著しく向上した。PVC 中で MBS 粒子同士が接近 した分散形態、すなわち、MBS 粒子が一部凝集状 態.が存在することにより急激な衝撃強度改善効 果が発現しすることが明らかとなった。

参考文献

- 1) A. Takenaka, T. Hasegawa, M. Isogawa, and I. Narisawa, Polym. Eng. Sci., 34, 680 (1994)
- 2) E. R. Ludwigshafen, Kunstoffe German Plastics, 76, 1901 (1986)
- 3) A. Pavan, T. Riccò and M. Rink, Mat. Sci. Eng., 45, 201 (1980)
- 4) M. T. Berard and S. M. Willians, J. Vinyl &

- Additive Tech. 2, 117 (1996)
- 5) 河原哲世, プラスチックエージ, 24(8), 71 (1978)
- 6) 成澤郁夫, 栗山 卓, 日本ゴム協会誌, 68, 875 (1995)
- 7) 永田員也,藤原和子,日笠茂樹,児子英之,伊藤亮治,日本接着学会誌,"ポリ塩化ビニルー塩素化ポリエチレンブレンドの力学特性に及ぼす炭酸カルシウム添加効果",印刷中
- 8)大柳 康 編, "実践ポリマーアロイ", アグネ承 風社, 168(1993)
- 9)野村 学, プラスチックス, **46**, No.10, 45 (1995) 10) 永田員也, 児子英之, 日笠茂樹, 伊藤亮治, 日本接着学会誌, **38**, No.1, 2 (2002)
- 11) D.A Ventresca and M.T. Berard, J. Vinyl & Additive Tech., 3, 274 (1997)
- 12) F. Stricker and R. Mülhaupt, J. Appl. Polym. Sci., **62**, 1799 (1996)
- 13) L. Nicolais and M. Narkis, Polym. Eng. Sci., 11 (3), 194 (1971)
- 14) Y. Nakamura, Seiji Okabe, T. Iida, K. Nagta, and H. Nigo, Polym. & Polym. Composites, 7, 33 (1999) 15) 中村吉伸, 岡部誠司, 塩田勝基, 森 誠治, 飯田健郎, 永田員也, 児子英之, 日本接着学会誌, 35, 426 (1999)
- 16) K. Nagata, H. Nigo, Y. Nakamura, H. Okumura, A. Nisimura, Y. Tobita, T. Iida, H. Yoshitani, T. Nishino, and K. Nakamae, Composite Interfaces, in press
- 17) 永田員也, 児子英之, 岩蕗 仁, 日本接着学会 誌, **34**, 290 (1998)
- 18)飯坂捷義, 日本ゴム協会誌, 60, 117(1987)
- 19) G.J. Howard and R.J. Shanks, J. Polym. Sci., 26, 3099 (1981)
- 20) Y.S. Lipatov and F.T. Fabulyak, J. Appl. Polym.Sci., 16, 2131 (1972)
- 21) D.H. Droste and A.T. Diberenetto, J. Appl. Polym.Sci., 13, 2149 (1969)

本報告は日本接着学会誌, 39, No.5, 169(2003) に掲載されたものです。